

**Федеральное государственное автономное образовательное учреждение
высшего образования
«Национальный исследовательский университет
Высшая школа экономики»**

Московский институт электроники и математики им. А.Н. Тихонова
Департамент электронной инженерии

ОТЧЕТ
по домашней работе № 2
по дисциплине
«Основы построения инфокоммуникационных систем и сетей»

Выполнила студентка БИТ231
Байздренко В.М.

Преподаватель:
Саматов М.Р.

Москва, 2025

Оглавление

Задание на выполнение домашней работы.....	3
Схема реализуемой системы передачи	4
Краткие теоретические сведения.....	5
Листинг программы	9
Результаты моделирования:	17
Выводы:	23

Задание на выполнение домашней работы

Вариант 4:

Провести имитационное моделирование двухканальной системы, с частотным разделением каналов, предназначенной для одновременной передачи речевого сигнала (1 канал) и сигнала передачи данных (2 канал).

До поступления во 2 канал на передающем участке цифровой сигнал данных должен быть преобразован в аналоговый сигнал. На выходе 2 канала приемного участка также должны получить цифровой сигнал.

Схема реализуемой системы передачи



Рисунок 1. Схема реализуемой системы передачи.

Краткие теоретические сведения

Частотное разделение каналов (ЧРК) - один из ключевых методов реализации многоканальных систем передачи (МСП). В основе этого подхода лежит следующий принцип:

1. Преобразование первичных сигналов: каждый исходный сигнал (голос, данные и т.д.) преобразуется в каналный сигнал через модуляцию индивидуальных несущих частот.
2. Формирование группового сигнала: каналные сигналы $U_1(t)$, $U_2(t)$, ..., $U_n(t)$ объединяются в суммарный сигнал. Частоты $f_1...f_n$ выбираются так, чтобы спектры каналных сигналов не перекрывались.
3. Передача по линии связи: групповой сигнал $U_{\Sigma}(t)$ передается через линейный тракт, где подвергается искажениям и воздействию помех.

Генерация сигналов заключается в создании аналогового (речевого) и цифрового сигналов, как суммы гармоник, а также несущих.

Аналогово-цифровое преобразование заключается в преобразовании непрерывного аналогового сигнала в дискретный цифровой код. АЦП состоит из нескольких этапов, таких как дискретизация по времени, квантование по амплитуде и кодирование.

Дискретизация – это процесс преобразования непрерывного (аналогового) сигнала в дискретный, путем выборки его значений в определенные моменты времени. Этот процесс описывается теоремой Котельникова: «Для корректной реконструкции исходного аналогового сигнала из его дискретных отсчетов частота дискретизации f_s должна быть не менее двух максимальных частот спектра исходного сигнала: $f_s \geq 2 \cdot f_{\max}$, где f_{\max} – максимальная частота спектра сигнала.»

Квантование – это ключевой этап преобразования аналогового или дискретного сигнала в цифровой формат. Он заключается в ограничении значений сигнала конечным набором уровней, что позволяет представить сигнал в виде фиксированных чисел, например, бит. Эти уровни называются квантовыми уровнями. Шаг квантования – величина интервала между соседними уровнями квантования.

Преобразование многоуровневого сигнала в код с низким основанием называется кодированием. В нашем случае при кодировании происходит преобразование в двоичный код, то есть каждый квантовый уровень отображается в виде двоичной последовательности (кодовой цифры).

Цифро-аналоговое преобразование используется для преобразования дискретного цифрового сигнала обратно в аналоговую

форму перед модуляцией и передачей. Для этого используется кубическая интерполяция, то есть для каждого интервала $[t_k, t_{k+1}]$ строится полином 3-й степени: $P_k(t) = a_k + b_k(t - t_k) + c_k(t - t_k)^2 + d_k(t - t_k)^3$. В коде для этого используется функция `interp1d` из библиотеки `scipy.interpolate`.

Амплитудная модуляция заключается в процессе изменения амплитуды несущего сигнала в зависимости от модулирующего сигнала, который как раз содержит в себе передаваемую информацию. Математическая модель АМ: $s_{AM}(t) = [1 + m s_{инф}(t)] * \cos(\omega t)$. При гармоническом модулирующем сигнале спектр АМ-сигнала содержит несущую f_c , и боковые $f_c - f_m$ и $f_c + f_m$ частоты. При глубине модуляции $m > 1$ происходит перемодуляция, при $m < 3$ мощность боковых полос может быть недостаточной, поэтому в коде $m = 0.5$, в качестве оптимального значения. После этого происходит формирование группового сигнала (сумма сигналов).

Фильтрация в системе передачи играет роль при разделении каналов, подавлении помех и восстановлении сигналов. В системе передачи используется три типа фильтров:

- Полосовые – для формирования группового сигнала и разделения каналов;
- Низкочастотные – для восстановления сигналов после демодуляции;
- Частотно-зависимые – в модели каналов.

Линия передачи – это совокупность проводников, предназначенных для передачи электромагнитной энергии или электрических сигналов от одного устройства к другому.

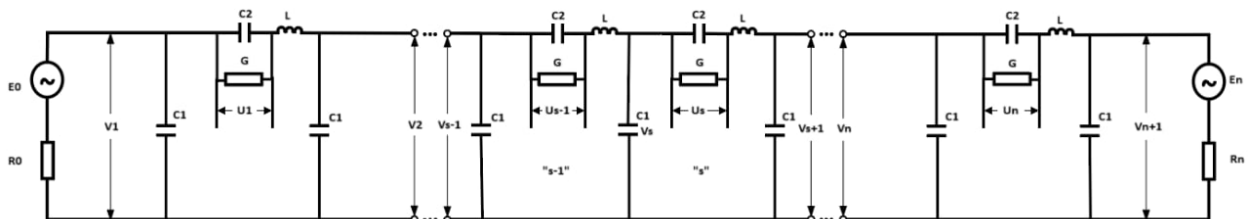


Рисунок 2.1. Общая эквивалентная схема дискретной модели линии передачи

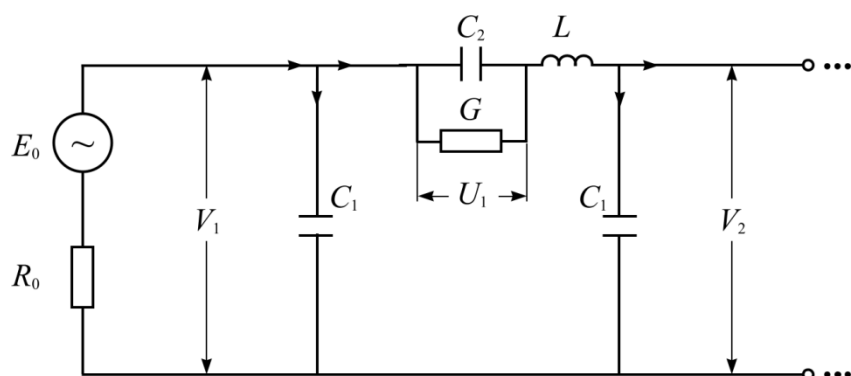


Рисунок 2.2. Эквивалентная схема входного звена дискретной модели линии передачи.

Расчет граничных условий входного звена (рисунок 1.2):

$$\frac{d^2 V_1}{dt^2} = \frac{1}{LC_1} (V_2 - V_1 + U_1) + \frac{1}{R_0 C_1} \frac{d}{dt} (E_0 - V_1)$$

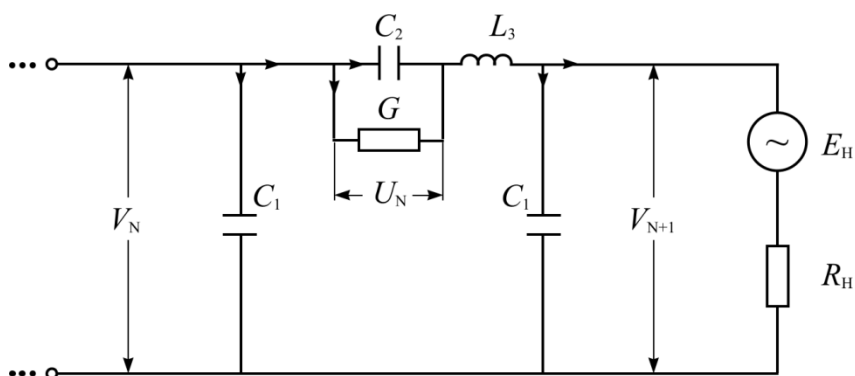


Рисунок 2.3. Эквивалентная схема выходного звена дискретной модели линии передачи.

Расчет граничных условий выходного звена (рисунок 1.3):

$$\frac{d^2 V_{N+1}}{dt^2} = \frac{1}{LC_1} (V_N - V_{N+1} - U_N) + \frac{1}{R_H C_1} \frac{d}{dt} (E_H - V_{N+1})$$

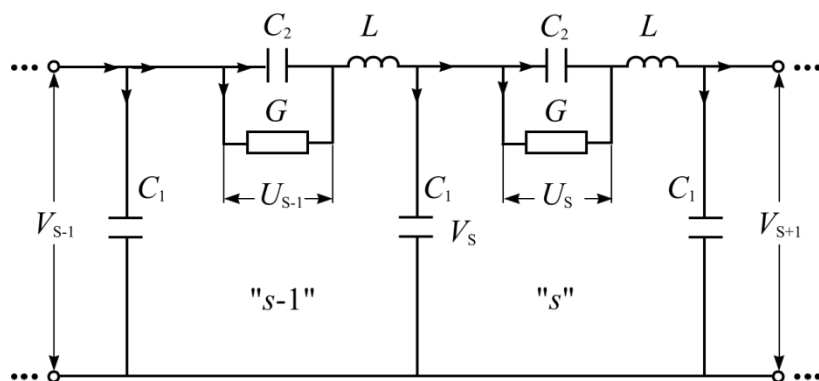


Рисунок 2.4. Эквивалентная схема двух соседних звеньев дискретной модели линии передачи.

Уравнения, связывающие напряжения в соседних ячейках:

$$\frac{d^2 V_s}{dt^2} = \frac{1}{LC_1} (V_{s-1} - 2V_s + V_{s+1} + U_s - U_{s-1})$$

$$\frac{d^2 U_s}{dt^2} = \frac{1}{LC_2} (V_s - V_{s+1} - U_s) - \frac{G}{C_2} \frac{dU_s}{dt}$$

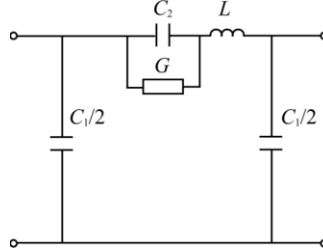


Рисунок 2.5. Эквивалентная схема одной ячейки дискретной модели линии передачи.

Формулы для расчета параметров эквивалентной схемы одной ячейки:

$$L = \sqrt{\frac{Z_0^2(f_0)\omega_0^2(2\omega_B^2 - \omega_H^2 - \omega_0^2)}{(\omega_B^2 - \omega_H^2)^2 \cdot (\omega_0^2 - \omega_H^2)}}$$

$$C_1 = \frac{2}{L(\omega_B^2 - \omega_H^2)}$$

$$C_2 = \frac{1}{\omega_H^2 L}$$

$$Z_0(f) = \sqrt{\frac{L^2(\omega_B^2 - \omega_H^2)^2 \cdot (\omega^2 - \omega_H^2)}{\omega^2(2\omega_B^2 - \omega_H^2 - \omega^2)}}$$

Демодуляция - метод восстановления информационного сигнала путём умножения принятого сигнала на опорное колебание с последующей фильтрацией. Математическая модель: $s_{\text{демод}}(t) = \frac{2 s_{AM}(t) \cos(\omega t)}{m}$.

Листинг программы

```
1 import numpy as np
2 import math
3 import matplotlib.pyplot as plt
4 from scipy.interpolate import interp1d
5
6
7 def f2w(f):
8     return 2.0 * math.pi * f
9
10 def Z1(f, C1):
11     return 2.0 / (1j * f2w(f) * C1)
12
13 def Z2(f, C2):
14     return 1.0 / (1j * f2w(f) * C2)
15
16 def Z3(f, L):
17     return 1.0j * f2w(f) * L
18
19 def Gam(f, L, C1, C2):
20     ZY = (Z2(f, C2) + Z3(f, L)) / Z1(f, C1)
21     return 2.0 * np.arcsinh(np.sqrt(ZY))
22
23 def Zw(f, L, C1, C2):
24     num = Z1(f, C1)**2 * (Z2(f, C2) + Z3(f, L))
25     den = 2 * Z1(f, C1) + Z2(f, C2) + Z3(f, L)
26     return np.sqrt(num / den)
27
28 def bandpass_filter(time, signal, fl, fh):
29     n = len(signal)
30     dt = time[1] - time[0]
31     freqs = np.fft.fftfreq(n, dt)
32     spectrum = np.fft.fft(signal)
33
34     for i in range(n):
35         if not (fl < abs(freqs[i]) < fh):
36             spectrum[i] = 0j
37
38     return np.fft.ifft(spectrum).real
39
40
41 fs = 10          # Базовая частота сигнала
42 T = 0.2          # Длительность сигнала
43 n = 10000        # Число точек дискретизации
44 mod_depth = 0.5  # Глубина модуляции
45 Z0 = 10          # Характеристическое сопротивление линии
46 Nc = 100         # Число ячеек в линии
47
48 # Инициализация массивов
49 time = np.linspace(0, T, n)
50 freqs = np.fft.fftfreq(n, T/n)
51
52 sig1 = np.zeros(n) # Аналоговый (речевой) сигнал
53 sig2 = np.zeros(n) # Цифровой сигнал
54 sam1 = np.zeros(n) # Несущая 10*fs
55 sam2 = np.zeros(n) # Несущая 50*fs
56
```

```

57 # Генерация сигналов
58 for i, t in enumerate(time):
59     sig1[i] = 5.0 * math.sin(1*f2w(fs)*t) + 7.0 * math.sin(4*f2w(fs)*t) +
        9.0 * math.sin(7*f2w(fs)*t)
60
61     sig2[i] = 6.5 * math.sin(2*f2w(fs)*t) + 8.5 * math.sin(3*f2w(fs)*t) +
        10.0 * math.sin(5*f2w(fs)*t)
62
63     sam1[i] = math.sin(f2w(10*fs)*t)
64     sam2[i] = math.sin(f2w(50*fs)*t)
65
66
67 # Дискретизация по времени
68 d_t = 1 / (2 * 10 * fs)
69 d_n = int(T / d_t)
70 d_sig = np.zeros(d_n)
71 d_time = np.zeros(d_n)
72
73 for i in range(d_n):
74     idx = i * int(n/d_n)
75     d_sig[i] = sig2[min(idx, n-1)]
76     d_time[i] = i * d_t
77
78 # Квантование по уровню (2 уровня)
79 min_level = min(sig2)
80 max_level = max(sig2)
81 d_U = (max_level - min_level) / 1 # Для 2 уровней
82
83 q_sig = np.zeros(d_n)
84 for i in range(d_n):
85     value = d_sig[i]
86     if value >= (min_level + max_level)/2:
87         q_sig[i] = max_level
88     else:
89         q_sig[i] = min_level
90
91 # Формирование цифрового сигнала
92 lengthOfBits = int(n / d_n)
93 sig2d = np.zeros(n)
94
95 for i in range(d_n):
96     start_idx = i * lengthOfBits
97     end_idx = (i+1) * lengthOfBits
98     if end_idx > n: end_idx = n
99     sig2d[start_idx:end_idx] = q_sig[i]
100
101 # Визуализация исходных сигналов
102 plt.figure(figsize=(16, 12))
103
104 plt.subplot(2, 2, 1)
105 plt.title('Речевой сигнал')
106 plt.plot(time, sig1)
107
108 plt.subplot(2, 2, 2)
109 plt.title('Спектр речевого сигнала')
110 plt.xlim(0, 8*fs)
111 spectrum = np.fft.fft(sig1)
112 plt.plot(freqs, np.abs(spectrum)/n*2)

```

```

113
114 plt.subplot(2, 2, 3)
115 plt.title('Цифровой сигнал')
116 plt.plot(time, sig2, '--', color='gray')
117 plt.scatter(d_time, q_sig, color='red')
118 plt.plot(time, sig2d)
119
120 plt.subplot(2, 2, 4)
121 plt.title('Спектр цифрового сигнала')
122 plt.xlim(0, 100*fs)
123 spectrum = np.fft.fft(sig2d)
124 plt.plot(freqs, np.abs(spectrum)/n*2)
125
126 plt.tight_layout()
127 plt.show()
128
129
130 interp_func = interp1d(d_time, q_sig, kind='cubic',
131 fill_value="extrapolate")
132 sig2a = interp_func(time)
133
134 plt.figure(figsize=(16, 6))
135
136 plt.subplot(1, 2, 1)
137 plt.title("ЦАП - восстановленный сигнал")
138 plt.plot(time, sig2a)
139
140 plt.subplot(1, 2, 2)
141 plt.title('Спектр после ЦАП')
142 plt.xlim(fs, 12*fs)
143 spectrum = np.fft.fft(sig2a)
144 plt.plot(freqs, np.abs(spectrum)/n*2)
145
146 plt.tight_layout()
147 plt.show()
148
149
150 # Амплитудная модуляция
151 for i in range(n):
152     sam1[i] = sam1[i] * (1 + mod_depth * sig1[i] / 2.0)
153     sam2[i] = sam2[i] * (1 + mod_depth * sig2a[i] / 2.0)
154
155 # Формирование группового сигнала
156 grp = bandpass_filter(time, sam1, 3*fs-5, 17*fs+5) +
157     bandpass_filter(time, sam2, (50-13)*fs-5, (50+13)*fs+5)
158
159 # Визуализация модулированных сигналов
160 plt.figure(figsize=(16, 6))
161
162 plt.subplot(1, 2, 1)
163 plt.title("Амплитудная модуляция")
164 plt.plot(time, sam1, label='10fs')
165 plt.plot(time, sam2, label='50fs')
166 plt.legend()
167
168 plt.subplot(1, 2, 2)
169 plt.title('Спектр АМ сигналов')
170 plt.xlim(fs, 70*fs)

```

```

170 spectrum1 = np.fft.fft(sam1)
171 spectrum2 = np.fft.fft(sam2)
172 plt.plot(freqs, np.abs(spectrum1)/n*2)
173 plt.plot(freqs, np.abs(spectrum2)/n*2)
174
175 plt.tight_layout()
176 plt.show()
177
178 # Визуализация группового сигнала
179 plt.figure(figsize=(16, 6))
180
181 plt.subplot(1, 2, 1)
182 plt.title("Групповой сигнал")
183 plt.plot(time, grp)
184
185 plt.subplot(1, 2, 2)
186 plt.title('Спектр группового сигнала')
187 plt.xlim(fs, 70*fs)
188 spectrum = np.fft.fft(grp)
189 plt.plot(freqs, np.abs(spectrum)/n*2)
190
191 plt.tight_layout()
192 plt.show()
193
194
195 # Расчет параметров линии
196 fl = 0.5 * fs
197 fh = 70.5 * fs
198 fc = (fl + fh) / 2
199 wl = f2w(fl)
200 wc = f2w(fc)
201 wh = f2w(fh)
202
203 L = math.sqrt(Z0**2 * wc**2 * (2*wh**2 - wl**2 - wc**2) /
                ((wh**2 - wl**2)**2 * (wc**2 - wl**2)))
204 C1 = 2.0 / (L * (wh**2 - wl**2))
205 C2 = 1.0 / (wl**2 * L)
206 G = 0
207
208 print(f'Параметры ячейки ЛП: \nC1 = {C1:.6f} \nC2 = {C2:.6f} \nL = {L:.6f}')
209
210 # Расчет характеристик линии
211 freq_lp = np.linspace(0.8*fl, fh*1.2, int(T*fh))
212 Gama_val = Gam(freq_lp, L, C1, C2)
213 Zw_val = Zw(freq_lp, L, C1, C2)
214 dF = (Gam(freq_lp+0.1, L, C1, C2).imag - Gam(freq_lp-0.1, L, C1,
215 C2).imag)/0.2
216
217 # Визуализация характеристик линии
218 plt.figure(figsize=(16, 10))
219
220 plt.subplot(2, 2, 1)
221 plt.title("Постоянная распространения")
222 plt.plot(freq_lp, Gama_val.real, 'b', label=r'$\alpha(f)$')
223 plt.plot(freq_lp, Gama_val.imag, 'r', label=r'$\phi(f)$')
224 plt.legend()
225
226 plt.subplot(2, 2, 2)

```

```

227 plt.title("Характеристическое сопротивление")
228 plt.plot(freq_lp, np.abs(Zw_val), label='|Z|')
229 plt.plot(freq_lp, Zw_val.real, '--', label='Re')
230 plt.plot(freq_lp, Zw_val.imag, '--', label='Im')
231 plt.legend()
232
233 plt.subplot(2, 2, 3)
234 plt.title("Производная фазовой постоянной")
235 plt.plot(freq_lp, dF)
236
237 plt.tight_layout()
238 plt.show()
239
240 # Моделирование линии передачи
241 dt = T / n
242 aU = np.zeros(Nc)      # Напряжения на C2
243 dU = np.zeros(Nc)      # Производные напряжений на C2
244 aV = np.zeros(Nc+1)    # Напряжения на C1
245 dV = np.zeros(Nc+1)    # Производные напряжений на C1
246
247 lp_in = np.zeros(n)    # Входные напряжения
248 lp_out = np.zeros(n)   # Выходные напряжения
249
250 dpp = 20 # Число итераций на шаг
251
252 def d_signal(t):
253     idx = min(n-1, int(t/dt))
254     return (grp[idx] - grp[idx-1])/dt if idx > 0 else 0
255
256 for it in range(n):
257     t = dt * it
258     for _ in range(dpp):
259         # Граничные условия
260         dV[0] += (1.0/(L*C1)*(aV[1]-aV[0]+aU[0]) +
261                  1.0/(Z0*C1)*(d_signal(t) - dV[0])) * dt/dpp
262
263         # Уравнения для внутренних ячеек
264         for ic in range(Nc):
265             dU[ic] += (1.0/(L*C2)*(aV[ic]-aV[ic+1]-aU[ic]) -
266                       G/C2*dU[ic]) * dt/dpp
267             if ic > 0:
268                 dV[ic] += (0.5/(L*C1)*(aV[ic-1]-2*aV[ic]+aV[ic+1]+aU[ic]-
269                                     aU[ic-1])) * dt/dpp
270
271             dV[Nc] += (1.0/(L*C1)*(aV[Nc-1]-aV[Nc]-aU[Nc-1]) +
272                      1.0/(Z0*C1)*(-dV[Nc])) * dt/dpp
273
274         # Обновление напряжений
275         for ic in range(Nc):
276             aV[ic] += dV[ic] * dt/dpp
277             aU[ic] += dU[ic] * dt/dpp
278         aV[Nc] += dV[Nc] * dt/dpp
279
280     lp_in[it] = aV[0]
281     lp_out[it] = aV[Nc]
282
283 # Визуализация результатов прохождения через линию
284 plt.figure(figsize=(16, 6))

```

```

282
283 plt.subplot(1, 2, 1)
284 plt.title("Входной и выходной сигналы на ЛП")
285 plt.plot(time, lp_in, label='Вход')
286 plt.plot(time, lp_out, label='Выход')
287 plt.legend()
288
289 plt.subplot(1, 2, 2)
290 plt.title('Спектр после ЛП')
291 plt.xlim(0, 70*fs)
292 spectrum = np.fft.fft(lp_out)
293 plt.plot(freqs, np.abs(spectrum)/n*2)
294
295 plt.tight_layout()
296 plt.show()
297
298
299 # Выделение канальных сигналов
300 rch1 = bandpass_filter(time, lp_out, 3*fs-5, 17*fs+5)
301 rch2 = bandpass_filter(time, lp_out, (50-13)*fs-5, (50+13)*fs+5)
302
303 plt.figure(figsize=(16, 6))
304
305 plt.subplot(1, 2, 1)
306 plt.title("Выделение канальных сигналов")
307 plt.plot(time, rch1, label='Канал 1')
308 plt.plot(time, rch2, label='Канал 2')
309 plt.legend()
310
311 plt.subplot(1, 2, 2)
312 plt.title('Спектры канальных сигналов')
313 plt.xlim(0, 70*fs)
314 spectrum1 = np.fft.fft(rch1)
315 spectrum2 = np.fft.fft(rch2)
316 plt.plot(freqs, np.abs(spectrum1)/n*2)
317 plt.plot(freqs, np.abs(spectrum2)/n*2)
318
319 plt.tight_layout()
320 plt.show()
321
322 # Демодуляция
323 mch1 = np.zeros(n)
324 mch2 = np.zeros(n)
325
326 for i in range(n):
327     mch1[i] = rch1[i] * math.cos(f2w(10*fs)*time[i])
328     mch2[i] = rch2[i] * math.cos(f2w(50*fs)*time[i])
329
330 norm_factor1 = 2.0 / mod_depth
331 norm_factor2 = 2.0 / mod_depth
332 mch1 *= norm_factor1
333 mch2 *= norm_factor2
334
335 plt.figure(figsize=(16, 6))
336
337 plt.subplot(1, 2, 1)
338 plt.title('Амплитудная демодуляция')
339 plt.plot(time, mch1, label='Канал 1')

```

```

340 plt.plot(time, mch2, label='Канал 2')
341 plt.legend()
342
343 plt.subplot(1, 2, 2)
344 plt.title('Спектры демодуляции')
345 plt.xlim(0, 15*fs)
346 spectrum1 = np.fft.fft(mch1)
347 spectrum2 = np.fft.fft(mch2)
348 plt.plot(freqs, np.abs(spectrum1)/n*2)
349 plt.plot(freqs, np.abs(spectrum2)/n*2)
350
351 plt.tight_layout()
352 plt.show()
353
354 # Восстановление сигналов
355 rsig1 = bandpass_filter(time, mch1, 1, 7*fs+1)
356 rsig2 = bandpass_filter(time, mch2, 1, 15*fs+1)
357
358 plt.figure(figsize=(16, 6))
359
360 plt.subplot(1, 2, 1)
361 plt.title('Восстановленные сигналы')
362 plt.plot(time, rsig1, label='Аналоговый')
363 plt.plot(time, rsig2, label='Цифровой')
364 plt.legend()
365
366 plt.subplot(1, 2, 2)
367 plt.title('Спектры после ФНЧ')
368 plt.xlim(0, 13*fs)
369 spectrum1 = np.fft.fft(rsig1)
370 spectrum2 = np.fft.fft(rsig2)
371 plt.plot(freqs, np.abs(spectrum1)/n*2)
372 plt.plot(freqs, np.abs(spectrum2)/n*2)
373
374 plt.tight_layout()
375 plt.show()
376
377 # АЦП для восстановленного цифрового сигнала
378 d_sig_restored = np.zeros(d_n)
379 for i in range(d_n):
380     idx = i * int(n/d_n)
381     d_sig_restored[i] = rsig2[min(idx, n-1)]
382
383 q_sig_restored = np.zeros(d_n)
384 for i in range(d_n):
385     value = d_sig_restored[i]
386     if value >= (min_level + max_level)/2:
387         q_sig_restored[i] = max_level
388     else:
389         q_sig_restored[i] = min_level
390
391 rsig2d = np.zeros(n)
392 for i in range(d_n):
393     start_idx = i * lengthOfBits
394     end_idx = (i+1) * lengthOfBits
395     if end_idx > n: end_idx = n
396     rsig2d[start_idx:end_idx] = q_sig_restored[i]
397

```

```
398 # Финальная визуализация
399 plt.figure(figsize=(16, 6))
400
401 plt.subplot(1, 2, 1)
402 plt.title('Восстановленный цифровой сигнал')
403 plt.plot(time, rsig2, '--', color='gray')
404 plt.scatter(d_time, q_sig_restored, color='red')
405 plt.plot(time, rsig2d)
406
407 plt.subplot(1, 2, 2)
408 plt.title('Спектр восстановленного сигнала')
409 plt.xlim(0, 100*fs)
410 spectrum = np.fft.fft(rsig2d)
411 plt.plot(freqs, np.abs(spectrum)/n*2)
412
413 plt.tight_layout()
414 plt.show()
415
```


Результаты моделирования:

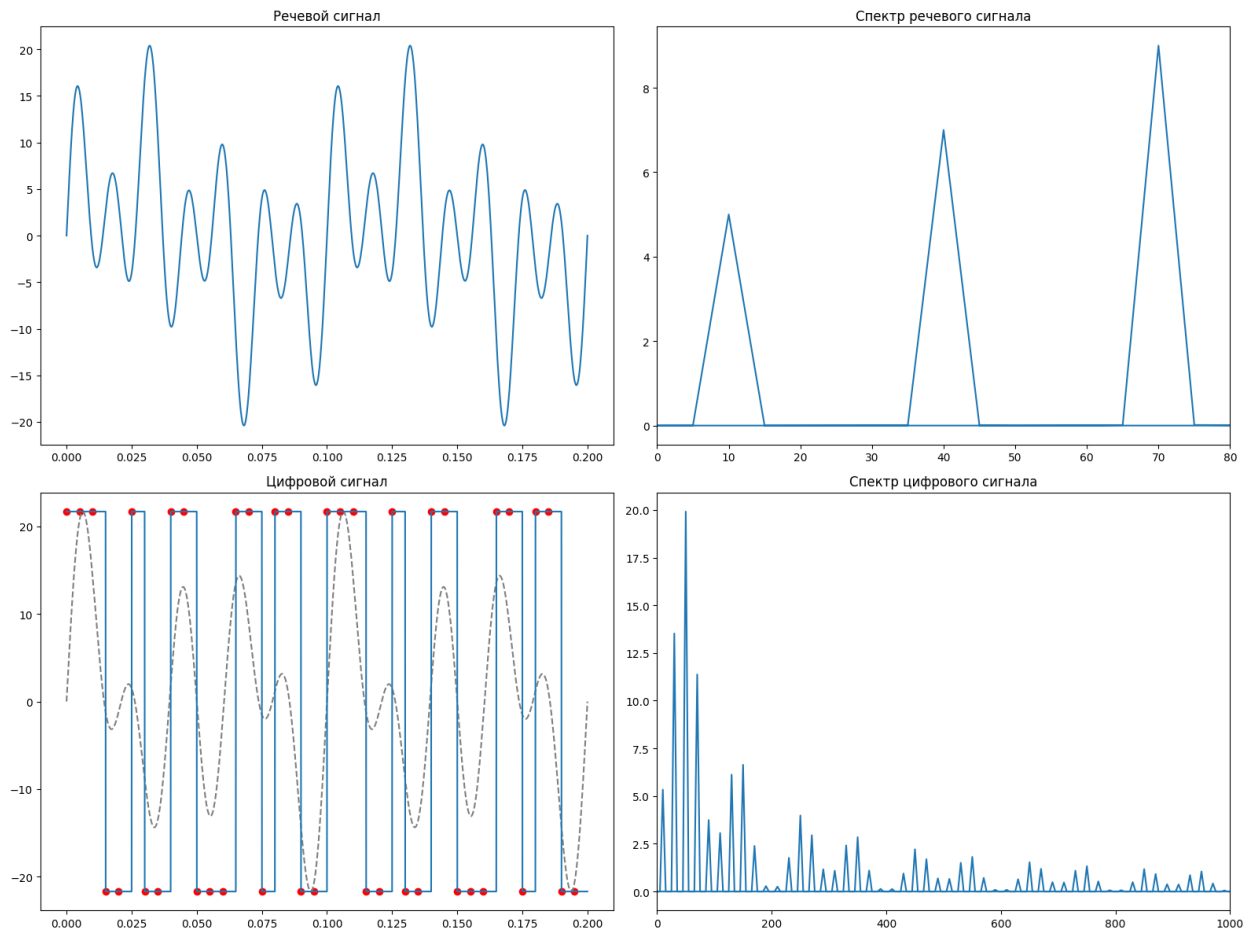


Рисунок 3.1. Исходные сигналы.

Левый верхний график содержит исходный аналоговый речевой сигнал (сумма гармоник 1fs, 4fs, 7fs). Правый верхний график содержит спектр речевого сигнала с пиками на 1 Гц, 4 Гц, 7 Гц. Левый нижний график содержит исходный цифровой сигнал (серый пунктир), его дискретные отсчеты (красные точки) и восстановленный после ЦАП сигнал (синяя линия). Правый нижний график содержит спектр цифрового сигнала с гармониками на 2 Гц, 3 Гц, 5 Гц.

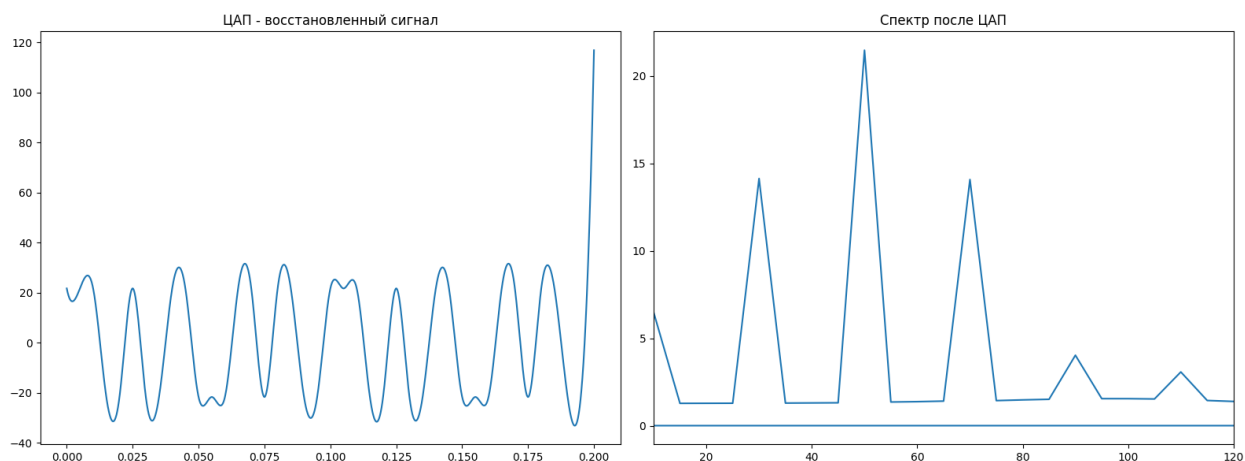


Рисунок 3.2. Результат ЦАП.

Левый график содержит восстановленный аналоговый сигнал после цифро-аналогового преобразования (кубическая интерполяция). Правый график содержит спектр сигнала после ЦАП. Видны основные гармоники (10-70 Гц) и высокочастотные компоненты, возникшие при интерполяции.

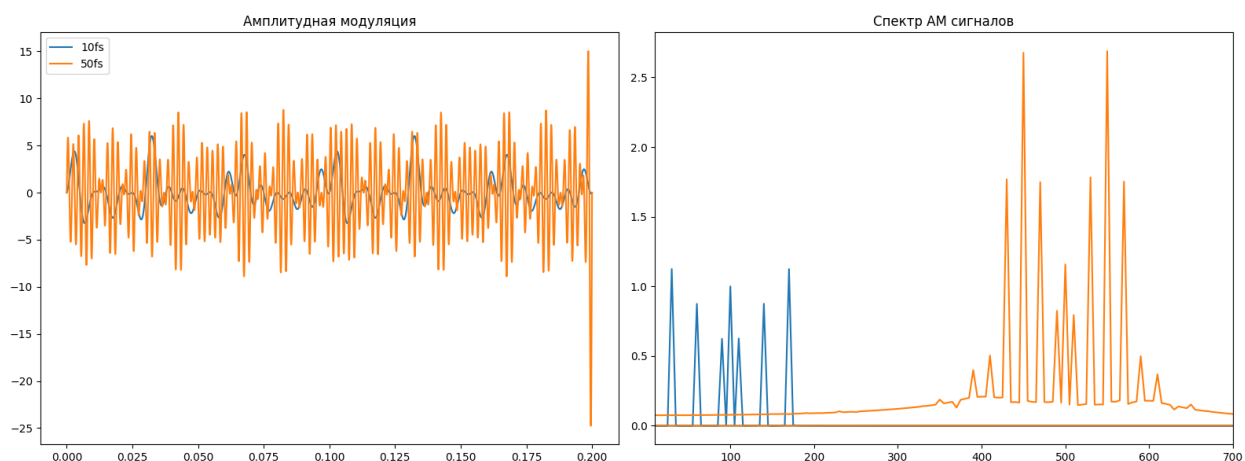


Рисунок 3.3. Модулированные сигналы.

Слева: АМ-сигналы: канал 1 (несущая 100 Гц, синий), канал 2 (несущая 500 Гц, оранжевый). Справа: спектры АМ-сигналов. Пики на несущих частотах (100 Гц и 500 Гц) с боковыми полосами.

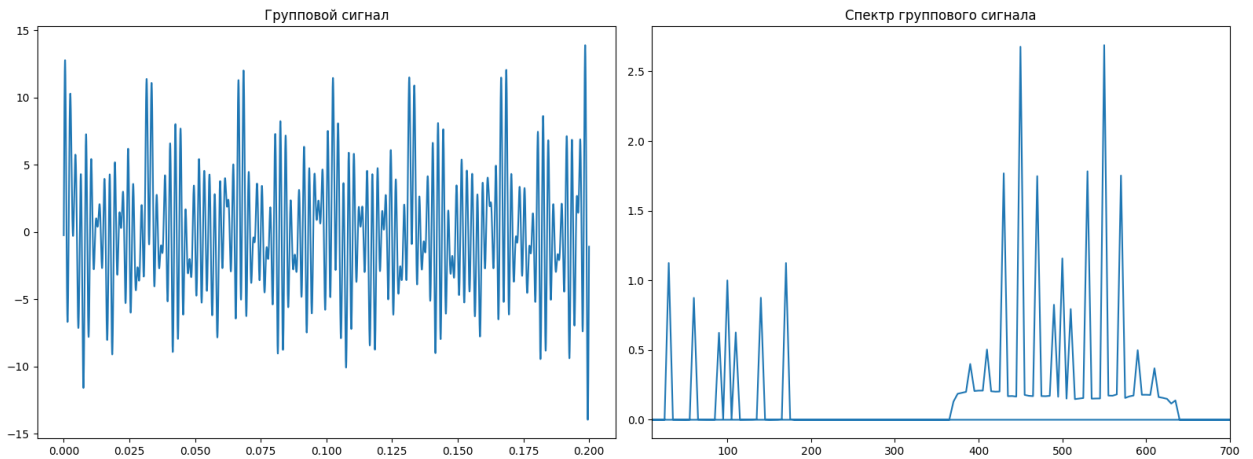


Рисунок 3.4. Групповой сигнал.

Слева: суммарный сигнал после объединения двух каналов. Справа: спектр группового сигнала. Четко видны два неперекрывающихся диапазона канала 1 и канала 2.

Параметры ячейки ЛП:

$C1 = 0.000034$

$C2 = 0.339573$

$L = 0.002984$

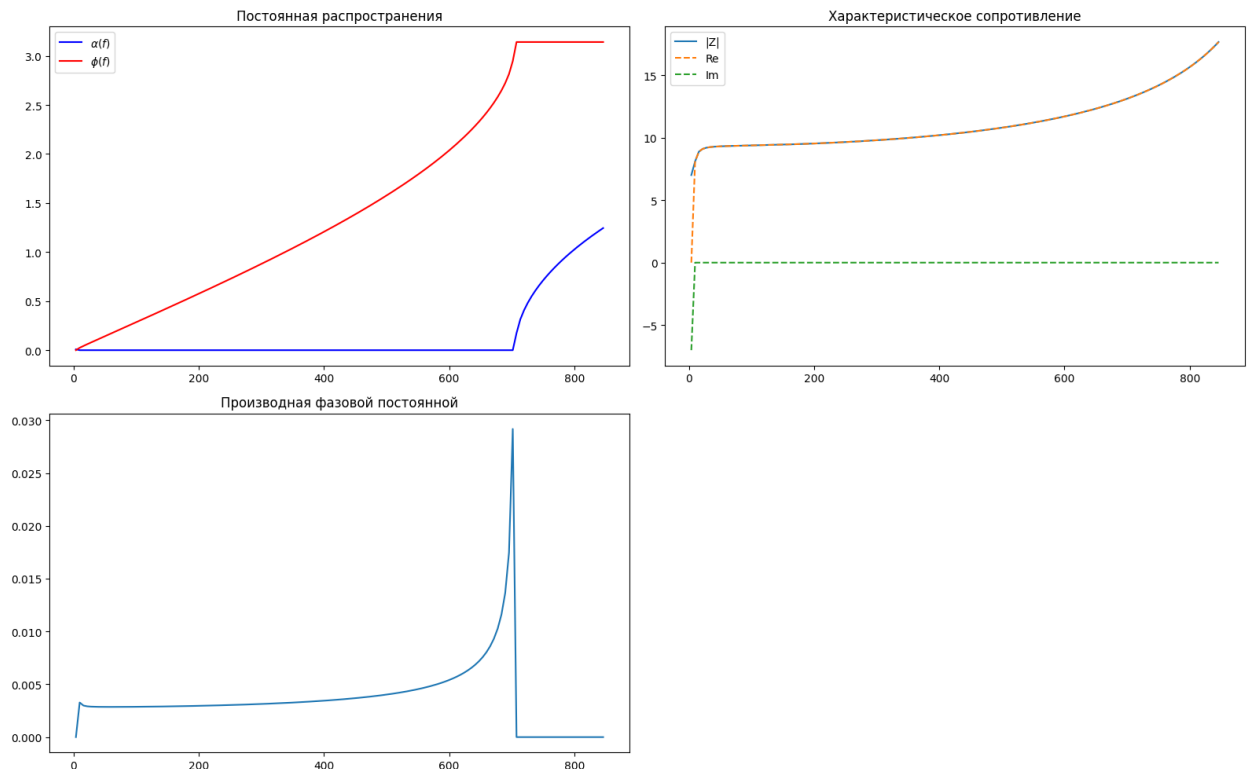


Рисунок 3.5. Характеристики линии передачи.

Верхний левый график: постоянная распространения (действительная часть α - затухание, мнимая ϕ - фаза). Верхний правый: характеристическое

сопротивление ($|Z|$, Re , Im). Нижний левый график: производная фазовой постоянной ($d\varphi/df$), определяющая задержку сигнала.

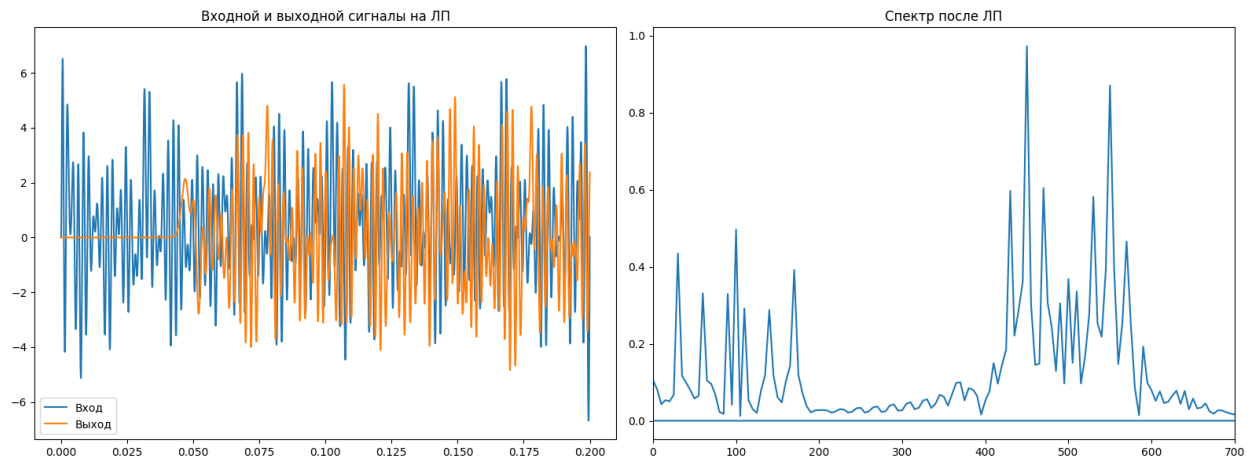


Рисунок 3.6. Сигналы на входе/выходе ЛП.

Слева: входной (синий) и выходной (оранжевый) сигналы линии передачи. Видна задержка и незначительные искажения. Справа: спектр выходного сигнала ЛП. Сохраняются основные компоненты группового сигнала.

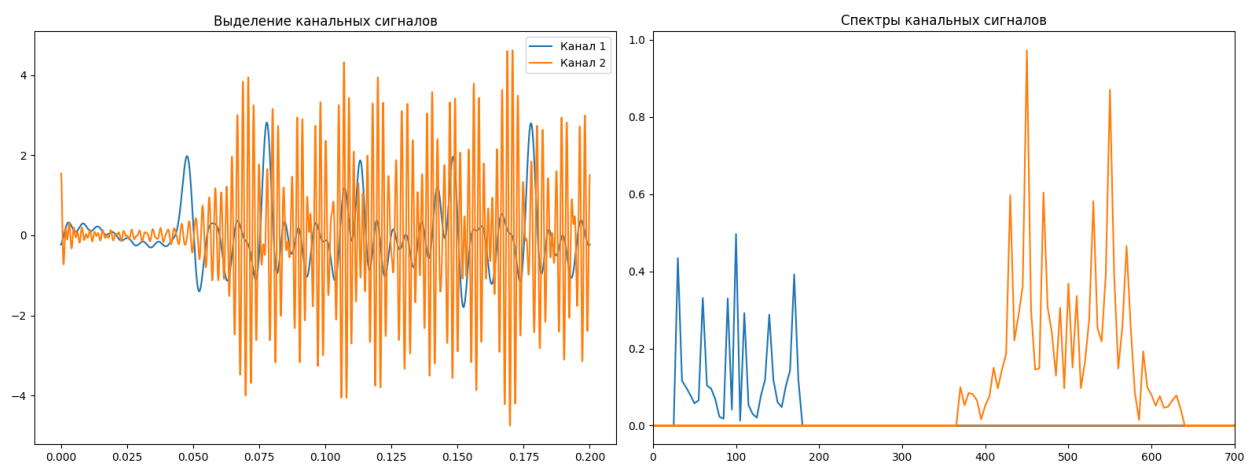


Рисунок 3.7. Разделение каналов.

Слева: выделенные сигналы после полосовой фильтрации. Справа: спектры канальных сигналов. Отсутствие перекрестных помех подтверждает корректность ЧРК.

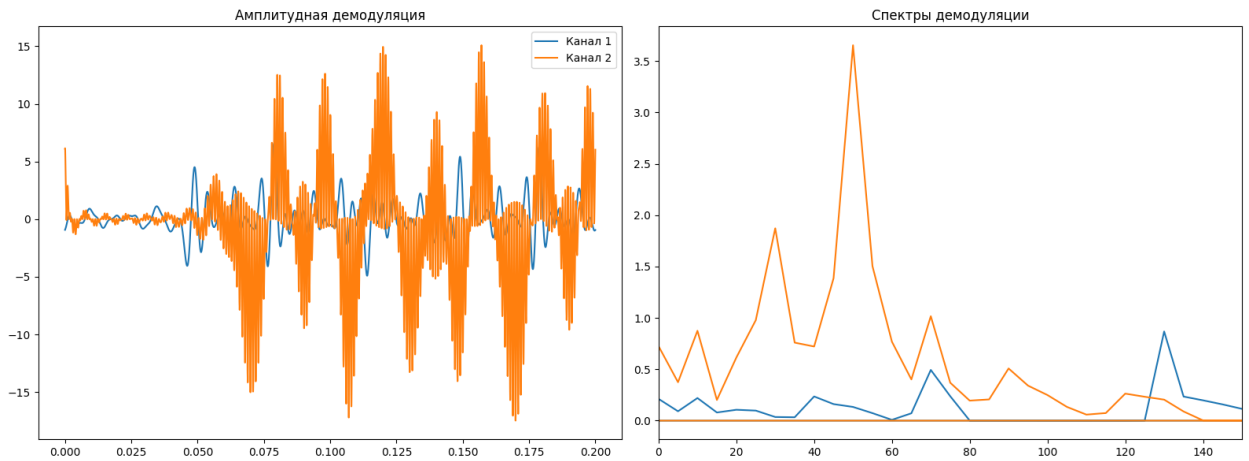


Рисунок 3.8. Демодуляция.

Слева: демодулированные сигналы после умножения на опорные несущие. Справа: спектры демодулированных сигналов. Низкочастотные компоненты (0-70 Гц) соответствуют исходным сигналам, высокочастотные (90-150 Гц) - артефакты удвоенных несущих.

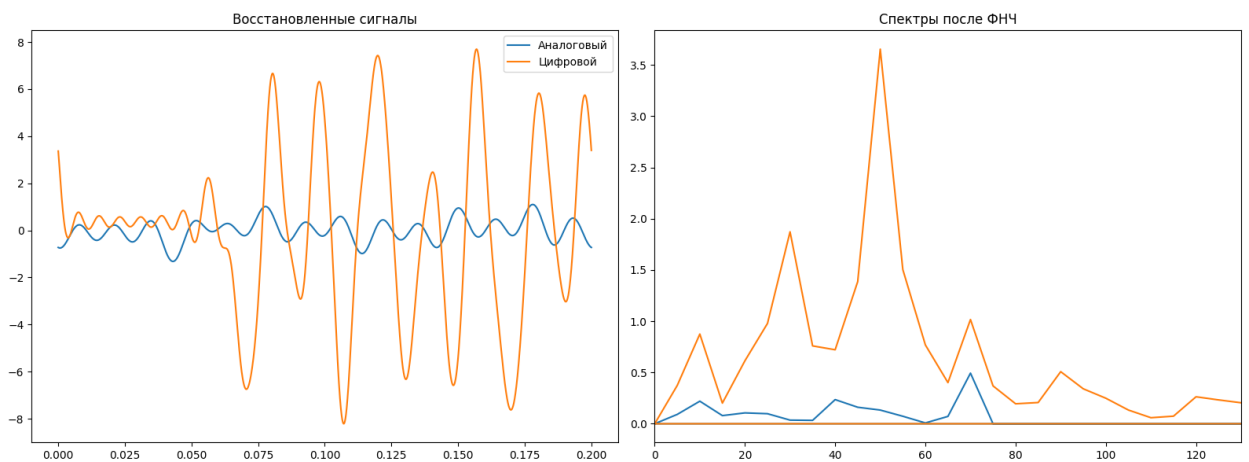


Рисунок 3.9. Восстановленные сигналы после ФНЧ.

Слева расположен график с фильтрацией ФНЧ: восстановленный речевой сигнал (синий) и цифровой сигнал (оранжевый). Справа: спектры после ФНЧ. Устранены высокочастотные компоненты, сохранены исходные гармоники (10–70 Гц).

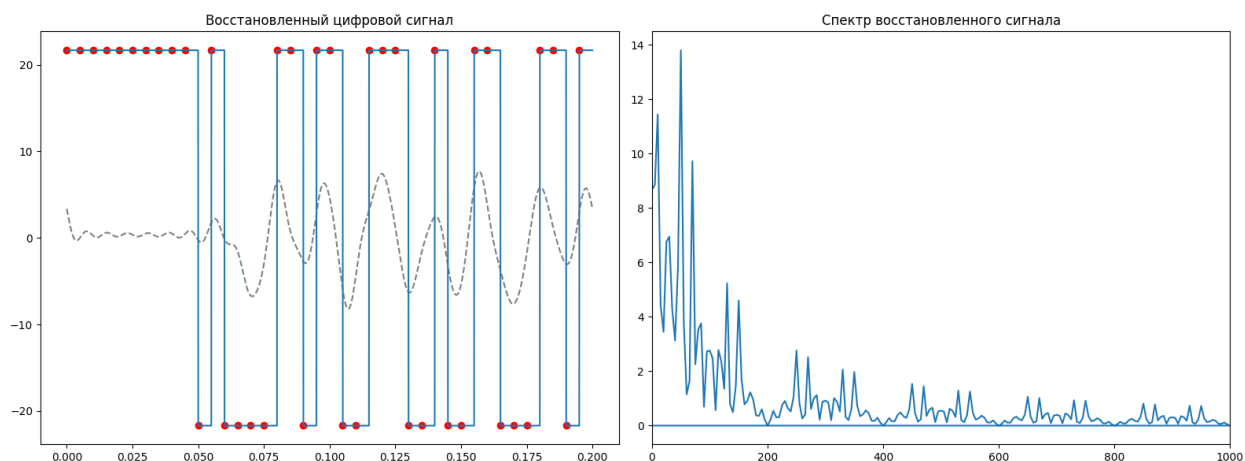


Рисунок 3.10. Цифровой сигнал на выходе.

Слева показан восстановленный цифровой сигнал: демодулированный (серый пунктир), дискретные отсчеты после квантования (красные точки), итоговый цифровой сигнал (синяя линия). Справа: спектр цифрового сигнала. Пики на 20 Гц, 30 Гц, 50 Гц соответствуют исходному сигналу.

Выводы:

Моделирование подтвердило работоспособность двухканальной системы с частотным разделением каналов (ЧРК). Графики подтвердили корректность моделирования одновременной передачи аналогового речевого сигнала (канал 1: 1-7 Гц) и цифрового сигнала данных (канал 2: 2-5 Гц) с последующим восстановлением исходных сигналов на приемной стороне.

Амплитудная модуляция с глубиной $m=0.5$ обеспечила оптимальный баланс между мощностью несущей и боковых полос. Демодуляция с ФНЧ корректно восстановила полученные сигналы.

Квантование при АЦП на 2 уровня успешно оцифровало сигнал, а кубическая интерполяция при ЦАП минимизировала ошибки при восстановлении сигнала.

Также были рассчитаны характеристики линии передачи.

Таким образом моделирование двухканальной системы, с частотным разделением каналов, предназначенной для одновременной передачи речевого сигнала (1 канал) и сигнала передачи данных (2 канал) выполнено корректно.